

УДК 621.315.592

## ИЗОТОПИЧЕСКИЙ ЭФФЕКТ В ГЕРМАНИИ

*B. F. Агекян, B. M. Аснин, A. M. Крюков,  
И. И. Марков, Н. А. Рудь, B. И. Степанов, A. B. Чурилов*

Впервые исследовано влияние изотопического замещения на энергетический спектр электронов и фононов в моноатомном кристалле германия. Из исследования краевой фотолюминесценции и поглощения, а также комбинационного рассеяния в кристаллах Ge<sup>76</sup> и Ge<sup>72</sup> определены изменения ширины запрещенной зоны и энергии фононов в результате изотопического замещения. Определена также абсолютная величина уменьшения ширины запрещенной зоны Ge, обусловленная взаимодействием электронов и дырок с нулевыми колебаниями решетки.

Изотопическое замещение атомов в кристаллической решетке может приводить к изменению структуры энергетических состояний электронов и фононного спектра твердого тела [1, 2]. В полупроводниках такие эффекты были исследованы только в нескольких двухатомных кристаллах при изотопическом замещении одного сорта атомов [3-5]. Следует ожидать, что наиболее ярко изотопические эффекты должны проявиться в моноатомных полупроводниках, где легче обеспечить полное замещение изотопов одного сорта на другой.

В настоящей работе впервые изучено влияние изотопического замещения атомов в простом полупроводнике — германии — на его оптические свойства.

Исследовались кристаллы Ge<sup>76</sup> со следующим изотопическим составом: Ge<sup>76</sup> — 84.6 %, Ge<sup>74</sup> — 15 %, остальные изотопы не более 0.2 % каждый, средний атомный вес 75.69. Они сравнивались с кристаллами обычного Ge<sup>72</sup> с изотопическим составом: Ge<sup>70</sup> — 20.53 %, Ge<sup>72</sup> — 27.37 %, Ge<sup>73</sup> — 7.61 %, Ge<sup>74</sup> — 36.74 %, Ge<sup>76</sup> — 7.67 %, средний атомный вес 72.59. Концентрация мелких примесных центров в исследованных образцах не превышала 10<sup>15</sup> см<sup>-3</sup>.

Были измерены спектры краевой фотолюминесценции и поглощения при гелиевых температурах и спектры комбинационного рассеяния при  $T=77$  К. В качестве источника возбуждения использовался непрерывный аргоновый лазер, излучение кристаллов регистрировалось охлаждаемым фотосопротивлением Ge : Cu. Край поглощения изучался на пластинках германия толщиной около 10 мкм. Спектры регистрировались и обрабатывались на оптической установке, автоматизированной с помощью персонального компьютера.

На рис. 1, 2 показаны разные участки спектров рекомбинационного излучения кристаллов Ge<sup>76</sup> и Ge<sup>72</sup> при  $T=1.7$  К и мощности возбуждения

Таблица 1

Энергетический сдвиг линий излучения кристалла германия (в мэВ)  
при изотопическом замещении атомов

$E \pm 0.05$ (мэВ)	Линия излучения				
	эДЖ (LA)	эДЖ (TA)	эДЖ (TO)	эДЖ (NP)	$D_0 X$
	1.45	1.05	1.70	$0.95 \pm 0.1$	0.9

3 Вт·см<sup>-2</sup>. Как известно, в таких условиях краевое излучение Ge обусловлено излучательной рекомбинацией электронно-дырочной жидкости (ЭДЖ), представленной *LA*--, *TO*- и *TA*-фононными повторениями. Одновременно в спектрах наблюдаются слабые бесфононные линии ЭДЖ и связанного на нейтральном доноре экситона. Обе линии обязаны своим существованием случайной примеси атомов As, как правило, присутствующей в малой концентрации в кристаллах Ge. В изученных образцах концентрация As, по оценкам, не превышает 10<sup>12</sup> см<sup>-3</sup>. Видно, что замещение атомов германия более тяжелым изотопом приводит к значительному коротковолновому

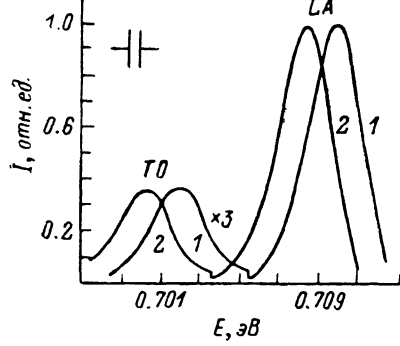


Рис. 1. *LA*- и *TO*-фононные повторения линии излучения электронно-дырочной жидкости в Ge<sup>76</sup> (1) и Ge<sup>72</sup> (2). T=1.7 K.

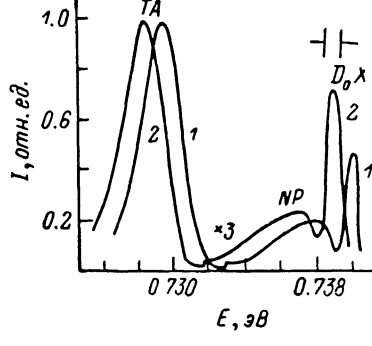


Рис. 2. Фотолюминесценция Ge<sup>76</sup> (1) и Ge<sup>72</sup> (2) в коротковолновой части краевого спектра.

D<sub>g</sub>X — линия экситона, связанного на нейтральных атомах As; NP — бесфононная линия излучения ЭДЖ с рассеянием на атомах As; TA — фононное повторение излучения ЭДЖ. T=1.7 K.

сдвигу всех линий излучения (табл. 1). При этом смещение бесфононных линий определяется изменением ширины запрещенной зоны  $\Delta E_g^L$ . Вычиная эту величину из полного смещения фононных линий, обусловленных испусканием коротковолновых фононов, соответствующих краю зоны Бриллюэна в *L*-точке, можно получить изменение энергии этих фононов. Результаты такого анализа экспериментальных данных для *LA*--, *TO*- и *TA*-фононов приведены в табл. 2. Здесь же представлены данные по изменению энергии *TO*-фононов в *G*-точке, определенные по сдвигу линии комбинационного рассеяния с участием оптического фонона в кристаллах с разным изотопическим составом (рис. 3). По смещению линии экситонного поглощения в области края прямых оптических переходов (рис. 4) была найдена также величина увеличения ширины запрещенной зоны  $\Delta E_g^G$  в *G*-точке в Ge<sup>76</sup> (табл. 2).

Таблица 2

Изменение ширины запрещенной зоны и энергии фононов (в мэВ) для кристаллов Ge при изотопическом замещении

	$\Delta E_g^L$	$\Delta E_g^G$	$\Delta(\hbar\omega_{LA}^L)$ ( $\hbar\omega_{LA}^L = 28.5$ мэВ)	$\Delta(\hbar\omega_{TA}^L)$ ( $\hbar\omega_{TA}^L = 8.5$ мэВ)	$\Delta(\hbar\omega_{TO}^L)$ ( $\hbar\omega_{TO}^L = 36.5$ мэВ)	$\Delta(\hbar\omega_{TO}^G)$
Эксперимент ( $\pm 0.05$ мэВ)	0.9	1.25	-0.55	-0.15	-0.80	-0.80
Расчет			-0.60	-0.20	-0.75	

Возрастание ширины запрещенной зоны в Ge<sup>76</sup> при низких температурах может быть вызвано двумя причинами — уменьшением объема элементарной кристаллической ячейки и изменением взаимодействия элек-

тров и дырок с нулевыми колебаниями решетки вследствие изменения спектра фононов. Легко показать, что первый из указанных эффектов пренебрежимо мал и не может объяснить наблюдаемое увеличение запрещенной зоны. Действительно, для моноатомной решетки изменение относительного молярного объема при  $T=0$  дается выражением [1]

$$\frac{dV}{V} = -\frac{9}{16} \frac{\gamma x}{V} R \Theta \frac{dM}{M}, \quad (1)$$

где  $M$  — масса атома,  $\gamma$  — постоянная Грюнайзена,  $x$  — сжимаемость,  $\Theta$  — температура Дебая,  $R$  — универсальная газовая постоянная. Используя для Ge значения  $\Theta \approx 350$  К,  $\gamma \approx 0.32$ ,  $x = 1.3 \cdot 10^{-12}$  см<sup>2</sup>·дин<sup>-1</sup> [8], получим  $\Delta V/V \approx -10^{-5}$ . Изменение ширины запрещенной зоны, соответствующее такому всестороннему сжатию, равно

$$\Delta E_g = \delta \Delta V/V \approx 5 \cdot 10^{-8} \text{ эВ} \quad (2)$$

( $\mathcal{E} \approx -5$  эВ — деформационный потенциал [6]), что много меньше наблюдаемой величины.

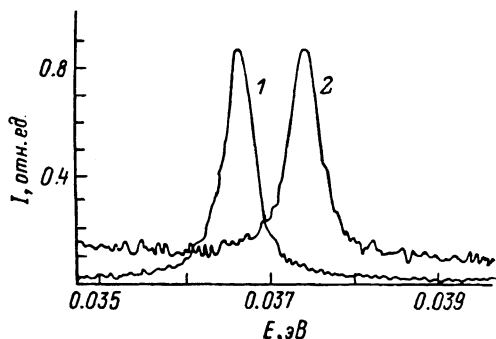


Рис. 3. Спектры комбинационного рассеяния Ge<sup>76</sup> (1) и Ge<sup>72</sup> (2) с испусканием  $T\bar{O}$ -фона.  $T=77$  К.

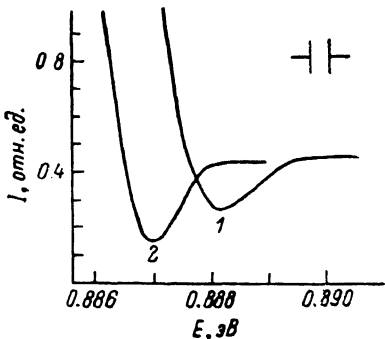


Рис. 4. Спектры пропускания Ge<sup>76</sup> (1) и Ge<sup>72</sup> (2) в области прямых экситонных переходов.  $T=1.7$  К.

Таким образом, основная причина возрастания ширины запрещенной зоны в Ge<sup>76</sup> — изменение электрон-фононного взаимодействия. Согласно [7], взаимодействие носителей заряда с нулевыми колебаниями решетки приводит к зависимости ширины запрещенной зоны от массы атома в виде  $\delta E_g \sim 1/\sqrt{M}$ . Тогда изменение сужения ширины запрещенной зоны за счет этого эффекта из-за изотопического замещения равно

$$\Delta(\delta E_g) = \delta E_{g_1} (\sqrt{M_1/M_2} - 1), \quad (3)$$

где индексы «1» и «2» относятся к Ge<sup>72</sup> и Ge<sup>76</sup> соответственно. Используя экспериментальное значение  $\Delta(\delta E_g)$ , из (3) можно получить абсолютную величину уменьшения ширины запрещенной зоны, вызванную электрон-фононным взаимодействием:  $\delta E_g^L = 42$ ,  $\delta E_g^R = 59$  мэВ. С помощью этих величин можно определить «истинное» (в отсутствие возмущения решетки нулевыми колебаниями) значение ширины запрещенной зоны при  $T=0$ :  $E_{g0} = E_g + \delta E_g$ . Для Ge<sup>72</sup>  $E_{g0}^L = 0.744 + 0.042 = 0.786$  эВ и  $E_{g0}^R = 0.889 + 0.059 = 0.948$  эВ, что хорошо согласуется с данными, полученными из аппроксимации к  $T=0$  линейной зависимости  $E_g(T)$ , наблюдавшейся в области высоких температур, когда тепловое распределение фононов подчиняется закону равнораспределения [8].

Энергия фононов связана с массой атома решетки также соотношением  $\hbar\omega \sim 1/\sqrt{M}$ , а ее изменение при изотопическом замещении определится по-прежнему формулой (3), где величину  $\delta E_g$  следует заменить на  $\hbar\omega_g$ . Энергия фононов, участвующих в оптических переходах в Ge, хорошо

известна и, кроме того, может быть определена из спектров рис. 1, 2 по разности спектрального положения фононных и безфононной линий излучения ЭДЖ. Ожидаемая величина уменьшения энергии фононов в Ge<sup>78</sup>, вычисленная по формуле (3), приведена в табл. 2 в сравнении с соответствующими экспериментальными величинами. Видно, что в пределах точности измерения имеется хорошее согласие между рассчитанными и измеренными значениями  $\Delta(\hbar\omega_f)$ .

Таким образом, в настоящей работе впервые исследовано влияние изотопического замещения на энергетический спектр электронов и фононов в моноатомном кристалле. Измерены изменения ширины запрещенной зоны и энергии фононов, определена абсолютная величина сужения ширины запрещенной зоны вследствие взаимодействия носителей заряда с нулевыми колебаниями решетки.

Авторы благодарят И. В. Кирпичникова и А. С. Старостина за предоставление кристаллов Ge<sup>78</sup> и В. Ю. Давыдова за измерение спектров комбинационного рассеяния.

#### Список литературы

- [1] Коган В. С. // УФН. 1962. Т. 79. № 4. С. 579—617.
- [2] Плеханов В. Г., Пустолов В. А., Коннель-Бронин А. О., Бетенкова Т. А., Чолах С. О. // ФТТ. 1976. Т. 18. № 8. С. 2438—2440.
- [3] Крейнгольд Ф. И., Лидер К. Ф., Сапега В. Ф. // ФТТ. 1977. Т. 19. № 10. С. 3158—3160.
- [4] Крейнгольд Ф. И. // ФТТ. 1978. Т. 20. № 10. С. 3138—3140.
- [5] Ключкин А. А., Плеханов В. Г. // ФТТ. 1980. Т. 22. № 2. С. 585—588.
- [6] Баарановский П. И., Ключков В. П., Потыкевич И. В. Полупроводниковая электроника. Киев, 1975. 704 с.
- [7] Fan H. Y. // Phys. Rev. 1951. V. 82. N 6. P. 900—905.
- [8] Смит Р. Полупроводники. М., 1962. 467 с.

Физико-технический институт  
им. А. Ф. Иоффе АН СССР  
Ленинград

Поступило в Редакцию  
19 июня 1989 г.